

# Modelo de Montroll com Retardo Fuzzy Aplicado aos Dados da População Brasileira

Samanta T. D. Palma<sup>1</sup>, Rosana S. M. Jafelice<sup>2</sup>, Ana M. A. Bertone<sup>3</sup>

IME/UFU, Uberlândia, MG

Jefferson B. Martins<sup>4</sup>

EBTT/IFTM, Uberaba, MG

**Resumo.** O objetivo deste trabalho é resolver numericamente o modelo de Montroll com retardo, considerado como número real e fuzzy, cujos parâmetros são obtidos por meio de dados da população brasileira entre os anos de 1991 e 2022. Completando o estudo, analisa-se a estabilidade do modelo de Montroll com retardo real e fuzzy. A solução numérica é obtida utilizando o método dos Passos combinado com o método de Runge-Kutta de quarta ordem, com implementação computacional própria. As incertezas do retardo fuzzy são incorporadas na solução do modelo através do Princípio da Extensão de Zadeh. A média aritmética dos erros relativos entre a solução defuzzificada com retardo fuzzy e os dados da população brasileira é menor do que a mesma métrica aplicada ao modelo de Montroll sem retardo.

**Palavras-chave.** Modelo de Montroll, Equações Diferenciais com Retardo, Extensão de Zadeh.

## 1 Introdução

Os modelos populacionais permitem explicar matematicamente o comportamento do crescimento ou decrescimento das populações, fornecendo ferramentas essenciais para analisar fenômenos demográficos. Apesar de suas contribuições, esses modelos nem sempre refletem a realidade de forma precisa, pois não consideram fatores como os processos de fecundação, o tempo necessário para atingir a maturidade sexual ou o impacto de eventos temporais específicos na dinâmica populacional. Nesse contexto, os modelos populacionais com retardo temporal surgem como uma extensão necessária. Uma das formas de resolver estas equações é a utilização do método dos Passos [1].

Nas últimas décadas, a teoria de conjuntos fuzzy emergiu como uma ferramenta poderosa para modelar fenômenos incertos. Proposta por Zadeh em 1965 [6] visa lidar com a imprecisão e a incerteza presentes no raciocínio humano. Em particular, em 1975, Zadeh introduziu o Princípio de Extensão, que permite gerar novos conjuntos fuzzy a partir de um conjunto inicial e uma função entre seus universos [7].

O objetivo deste trabalho é obter uma solução numérica e estudar a estabilidade do modelo de Montroll com retardo real e fuzzy, utilizando os dados da população brasileira entre os anos 1991 e 2022. Essa abordagem de incorporar no modelo de Montroll clássico, o retardo, é útil para representar situações em que o efeito de uma variável sobre outra não é imediato, mas ocorre com um certo retardo temporal. A solução numérica do modelo é obtida por meio de um algoritmo próprio,

---

<sup>1</sup>samanta.palma@ufu.br

<sup>2</sup>rmotta@ufu.br

<sup>3</sup>amabertone@ufu.br

<sup>4</sup>jefferson@ifm.edu.br

que combina o método dos Passos [1] com o método de Runge-Kutta de 4<sup>a</sup> ordem, permitindo lidar eficientemente com o problema de valor inicial de Montroll.

## 2 Modelo de Montroll sem e com Retardo

O modelo de Montroll é dado pelo PVI:  $\frac{dP}{dt} = rP \left[ 1 - \left( \frac{P}{P_\infty} \right)^\alpha \right]$ ,  $\alpha > 0$ ,  $r > 0$ ,  $P(0) = P_0$ , em que  $P = P(t)$  é a população no tempo  $t$ ,  $r$  é a taxa de crescimento relativa,  $P_\infty$  é a capacidade suporte e  $\alpha$  é o indicador da posição do ponto de inflexão da curva. A solução do modelo de Montroll é dada por:

$$P(t) = \frac{P_0 P_\infty}{[(P_\infty^\alpha - P_0^\alpha)e^{-\alpha r t} + P_0^\alpha]^{1/\alpha}}. \quad (1)$$

Para realizar a análise de crescimento populacional são utilizados os dados da população do Brasil obtidos do *Instituto Brasileiro de Geografia e Estatística* (IBGE).

Tabela 1: Dados da população brasileira.

Ano	População Brasileira
1991	146.917.459
2000	169.590.693
2010	190.755.799
2022	203.080.756

Logo, a equação diferencial do modelo de Montroll verifica:

$$\frac{dP}{dt} \frac{1}{P} = r \left[ 1 - \left( \frac{P}{P_\infty} \right)^\alpha \right] = r + \left( -\frac{r}{P_\infty^\alpha} \right) P^\alpha \approx c + aP^\alpha, \quad (2)$$

em que  $c = r$  e  $a = -\frac{r}{P_\infty^\alpha}$ . Assim, usando o toolbox `cftool` do MATLAB com os dados da Tabela 1, através do método de mínimos quadrados [2], para valores de  $\alpha$  entre  $0,01 \leq \alpha \leq 2,08$  com espaçamento de 0,01, determina-se o maior coeficiente de determinação ( $R^2$ ) igual a 0,9658 quando  $\alpha = 0,01$ . Para  $0,008 \leq \alpha \leq 0,012$  com espaçamento 0,001, o  $R^2$  é o mesmo. Assim, é considerado  $\alpha = 0,01$ ,  $c = r = 4,05$ ,  $a = -3,341$  e  $P_\infty \approx 227.957.958$ .

O modelo de Montroll com retardo é dado por:

$$\frac{dP}{dt} = rP \left[ 1 - \left( \frac{P(t-\tau)}{P_\infty} \right)^\alpha \right] \quad (3)$$

em que  $\tau > 0$  é o retardo. A interpretação biológica deste modelo é que o efeito regulador no tempo  $t$  depende da população no tempo anterior ( $t - \tau$ ) ao invés de  $t$  [4]. Resolver o modelo de Montroll com retardo de forma analítica, pode ser complexo devido à presença do termo  $P(t - \tau)$ , que introduz uma dependência no tempo passado. Neste trabalho é adotada uma abordagem numérica para obter soluções aproximadas, permitindo a análise do comportamento da população sob diferentes condições iniciais e parâmetros do modelo. Assim, foi desenvolvido um programa computacional que encontra uma solução numérica por meio do método dos Passos [1], juntamente com o método de Runge-Kutta de 4<sup>a</sup> ordem, cujo algoritmo é apresentado na Figura 1.

---

**Algoritmo 1: Solução Numérica de uma Equação Diferencial Ordinária com Retardo: Modelo de Montroll**

---

```

Entrada:  $P_0$  = valor inicial,  $P_\infty$  = capacidade suporte,  $\alpha, \lambda$ 
Entrada:  $\tau$ , retardo,  $\phi$  histórico do retardo
Entrada:  $T$  = tempo final
Entrada:  $N$  = # de pontos da malha do tempo
Entrada:  $tempo = \cup_{i=1}^N [(i-1)h, ih]$ ,  $h = T/N$ 
Entrada:  $steps$  = inteiro menor ou igual a  $(T/\tau)$ 
Entrada:  $F$  = expressão da função de Montroll
Saída:  $Y(tempo) = \cup_{k=1}^{steps} Y_k(Int_k)$ ,  $Int_k$ =intervalo no step k
1  início
2  |  para cada  $j = 1 \dots steps$  faça
3  |  |  para cada  $i = 1 \dots N$  faça
4  |  |  |  Se  $(j-1)*\tau \leq tempo(i) \leq j*\tau \leftarrow Int_j(i) = tempo(i)$ 
5  |  |  fim
6  |  fim
7  fim
8  Defina  $M = \min_j(\text{comprimento } Int_j)$  e  $Y_1(1) = P_0$ 
9  para cada  $i = 1 \dots M-1$  faça
10 |  |   $K1 = h(F(Y_1(i), \phi(Int_1(i) - \tau)))$ 
11 |  |   $K2 = h(F(Y_1(i) + 0.5 * K1, \phi(Int_1(i) + 0.5h - \tau) + 0.5K1))$ 
12 |  |   $K3 = h(F(Y_1(i) + 0.5K2, \phi(Int_1(i) + 0.5h - \tau) + 0.5K2))$ 
13 |  |   $K4 = h(F(Y_1(i) + K3, \phi(Int_1(i) + h - \tau)) + K3)$ 
14 |  |   $\leftarrow Y_1(i+1) = Y_1(i) + (K1 + 2 * K2 + 2 * K3 + K4)/6$ 
15 |  fim
16 Defina  $Y_k(k\tau) = Y_{k-1}(k\tau)$ 
17 para cada  $k = 2 \dots steps$  faça
18 |  |  para cada  $i = 1 \dots M-1$  faça
19 |  |  |   $K1 = h(F(Y_k(i), Y_k(i)))$ 
20 |  |  |   $K2 = h(F(Y_k(i) + 0.5K1, 0.5(Y_{k-1}(i) + Y_{k-1}(i+1)) + 0.5K1))$ 
21 |  |  |   $K3 = h(F(Y_k(i) + 0.5K2, 0.5(Y_{k-1}(i) + Y_{k-1}(i+1)) + 0.5K2))$ 
22 |  |  |   $K4 = h(F(Y_k(1) + K3, Y_{k-1}(i+1) + K3))$ 
23 |  |  |   $\leftarrow Y_k(i+1) = Y_k(i) + (K1 + 2K2 + 2K3 + K4)/6$ 
24 |  |  fim
25 |  fim
26 fim
27 fim

```

---

Figura 1: Algoritmo base do programa computacional utilizado neste estudo. Fonte: os autores.

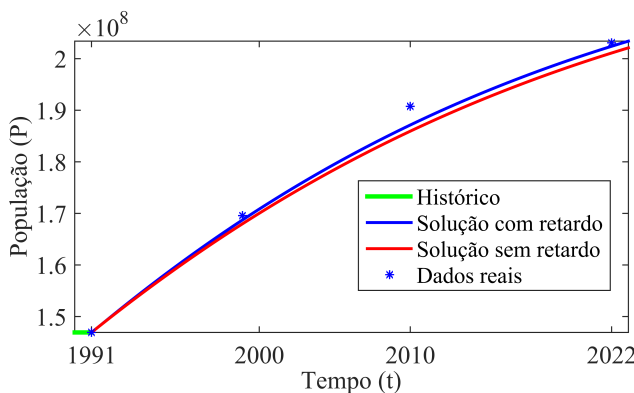


Figura 2: Solução numérica com retardo (azul), solução analítica sem retardo (vermelha) e os dados da população brasileira. Fonte: os autores.

A aproximação da solução de (3) para os dados da população brasileira considerando o valor

inicial  $P_0 = 146.917.459$ , a capacidade suporte  $P_\infty = 227.957.958$ ,  $\alpha = 0,01$ ,  $r = 4,05$ , o histórico  $\phi(t) = 146.917.459$  com o valor do retardo  $\tau = 1$ . Na Figura 2 são apresentadas a solução numérica de (3) (curva azul), a solução do modelo de Montroll sem retardo (curva vermelha), juntamente com os dados da Tabela 1.

São calculados as médias dos erros relativos para comparar a solução analítica e a aproximação numérica com os dados da população brasileira. Sendo  $C_R$  a média do erro relativo da solução do modelo de Montroll com retardo em relação aos dados da população brasileira, tem-se  $C_R = \frac{\sum_{i=1}^n R_i}{n}$ , em que  $R_i = \frac{|P_i - P_{r_i}|}{|P_i|}$ ,  $P_i$  são os dados da população brasileira e  $P_{r_i}$  é a solução numérica do modelo de Montroll com retardo nos pontos correspondentes. Além disso, calcula-se  $S_R$  que é a média do erro relativo da solução do modelo de Montroll sem retardo em relação aos dados da população brasileira, i.e.,  $S_R = \frac{\sum_{i=1}^n S_i}{n}$  sendo  $S_i = \frac{|P_i - P_{s_i}|}{|P_i|}$  em que  $P_{s_i}$  é a solução analítica do modelo de Montroll sem retardo nos pontos correspondentes. Os resultados obtidos são:  $C_R = 0,006406541549949$  e  $S_R = 0,009890714919669$ , o que mostra que a média dos erros relativos do modelo com retardo em relação aos dados da população brasileira é menor do que a do modelo sem retardo.

Para o estudo da estabilidade da equação (3), revisam-se alguns conceitos a seguir. Uma equação diferencial autônoma de primeira ordem é uma equação autônoma de primeira ordem da forma  $y' = F(y)$ , em que  $y = y(x) \in \mathbb{R}$  e  $F$  é uma função real contínua. Os pontos de equilíbrio de uma equação diferencial  $y' = F(y)$  são aqueles que satisfazem  $F(y) = 0$ . Um ponto de equilíbrio  $\tilde{y}$  da equação  $y' = F(y)$  é dito estável se, para qualquer  $\varepsilon > 0$  existe  $\delta > 0$ , dependendo de  $\varepsilon$ , tal que, para qualquer  $y_0$  para o qual  $|y_0 - \tilde{y}| < \delta$ , a solução  $\phi(x, y_0)$  do PVI, dado por  $y' = F(y)$  e  $y(0) = y_0$ , satisfaz a desigualdade  $|\phi(x, y_0) - \tilde{y}| < \varepsilon$ , para todo  $x \geq 0$  [3]. Caso contrário, o ponto diz-se instável [3]. Um ponto de equilíbrio  $\tilde{y}$  da equação  $y' = F(y)$  é dito assintoticamente estável, se  $\tilde{y}$  é um ponto de equilíbrio estável e  $\lim_{x \rightarrow \infty} \phi(x, y_0) = \tilde{y}$ .

Para o estudo da estabilidade do modelo de Montroll com retardo aplica-se a linearização em duas variáveis nos pontos de equilíbrio obtendo as seguintes conclusões:

(1) Para  $P = 0$ , a equação linearizada é  $\frac{dP}{dt} = rP$ . Assim, a análise da solução quando  $t \rightarrow \infty$  é  $\lim_{t \rightarrow \infty} P_0 e^{rt} = \infty$ , o que mostra que  $P = 0$  é instável.

(2) Para  $P = P_\infty$ , a equação linearizada é  $\frac{dP}{dt} = -(P(t-\tau) - P_\infty)\alpha r$ , cuja equação característica de variável  $z$  complexa é dada por:

$$z + r\alpha e^{-z\tau} = 0, \quad (4)$$

em que  $z = a + bi$ . Tem sido mostrado em [5] que para os dados da população brasileira a equação (4) com os valores de  $r = 4,05$ ,  $\alpha = 0,01$ ,  $\tau = 1$  cumpre que,  $r < \frac{1}{e\alpha}$ . Ou seja, tem-se duas raízes negativas que são  $a_1 = -4,7689$  e  $a_2 = -0,0426$ , determinadas computacionalmente através do método da Bisseção [2]. Para os autovalores reais da solução analítica  $x(t) = ce^{at}$  com  $a < 0$  tem-se:  $\lim_{t \rightarrow \infty} ce^{at} = 0$  e, devido à mudança de variável  $x(t) = P(t) - P_\infty$ , então  $P(t) \rightarrow P_\infty$  quando  $t \rightarrow \infty$ . Assim, considerando as duas raízes negativas  $a_1$ ,  $a_2$  e substituindo na solução linearizada da equação  $\frac{dP}{dt} = -(P(t - \tau) - P_\infty)\alpha r$  e  $P(t) = x(t) + P_\infty$ , tem-se:

1. Para  $a_1 = -4,7689$ , com a condição inicial  $P(0) = 146.917.459$ , é obtido

$$P(t) = -81.040.499e^{-4,769t} + 227.957.958 \text{ (Figura 3(a));}$$

2. para  $a_2 = -0,0426$ , com a condição inicial  $P(0) = 146.917.459$ , é obtido

$$P(t) = -81.040.499e^{-0,0426t} + 227.957.958. \text{ (Figura 3(b)).}$$

Na Figura 3 são apresentadas graficamente as soluções para as raízes negativas.

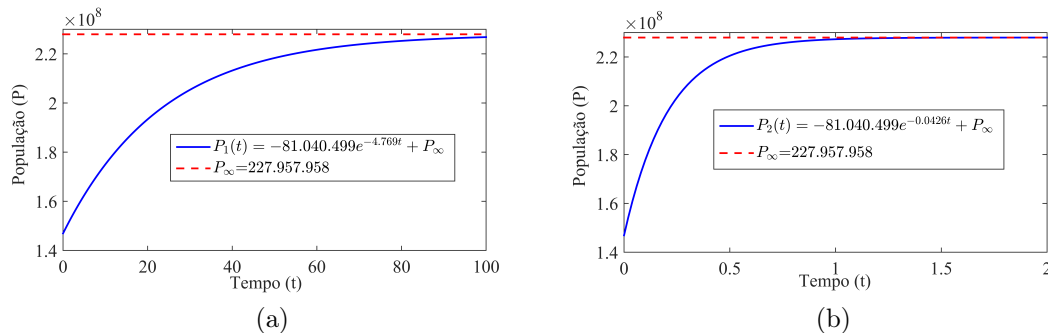


Figura 3: Solução linearizada da equação (3) no ponto de equilíbrio  $P = P_\infty$  para duas raízes negativas  $a_1$  e  $a_2$ . Fonte: os autores.

### 3 Modelo de Montroll com Retardo Fuzzy

Começa-se esta seção lembrando algumas definições da teoria dos conjuntos fuzzy [6].

Um conjunto fuzzy  $A$  de um universo  $\mathcal{U}$  é o gráfico da sua função de pertinência  $u_A$ , isto é,  $A = \{(x, u_A(x)) \mid x \in \mathcal{U}\}$ . Define-se para  $\alpha \in (0, 1]$ , o  $\alpha$ -nível de  $A$ , denotado por como  $[A]^\alpha$  como sendo o conjunto  $\{x \in \mathcal{U} \mid u_A(x) \geq \alpha\}$ . O suporte do conjunto fuzzy  $A$  denotado por  $\text{supp}(A)$  é o conjunto definido por  $\{x \in \mathcal{U} : u_A(x) > 0\}$ . O nível zero de  $A$  é dado por:  $[A]^0 = \overline{\text{supp}(A)}$ , em que  $\overline{B}$  é o fecho topológico do conjunto  $B$ .

Sejam  $f : \mathcal{U} \rightarrow Z$  uma função e  $A$  um conjunto fuzzy definidos em  $\mathcal{U}$ . A extensão de Zadeh de  $f$  é a função  $\hat{f}$  que, aplicada a  $A$ , fornece o conjunto fuzzy  $\hat{f}(A)$  de  $Z$ , cuja função de pertinência é dada por

$$u_{\hat{f}(A)}(x) = \sup_{x \in f^{-1}(z)} u_A(x), \text{ se } f^{-1}(z) \neq \emptyset \text{ ou } 0, \text{ se } f^{-1}(z) = \emptyset, \text{ sendo } f^{-1}(z) = \{x \mid f(x) = z\}.$$

Considere o modelo de Montroll com retardo fuzzy definido como:

$$\frac{dP}{dt} = rP \left[ 1 - \left( \frac{P(t-\tau)}{P_\infty} \right)^\alpha \right], \quad (5)$$

em que  $\tau \in [T]^0$  sendo  $T$  um conjunto fuzzy determinado empiricamente a partir dos dados da Tabela 1. A função de pertinência utilizada é de tipo triangular e analiticamente definida por:

$$u_T(\tau) = \frac{\tau - 0,032}{0,968} \text{ se } 0,032 \leq \tau < 1; \quad u_T(\tau) = \frac{6,4 - \tau}{5,4} \text{ se } 1 \leq \tau \leq 6,4; \quad 0, \text{ caso contrário.}$$

A seguir, é apresentada a fuzzificação da solução do modelo de Montroll através do Princípio de Extensão de Zadeh em cada instante  $t$ , resultando uma família de soluções numéricas para a equação (5), com os seus respectivos graus de pertinência.

Na Figura 4(a) é apresentada a solução numérica da equação (5) com  $\tau$  o parâmetro fuzzy triangular determinado para os dados da população brasileira, mostrando que o grau de pertinência aproxima-se de 1 (cor amarela). Assim, para os valores de  $\tau \in \text{supp}(T)$  tem-se a faixa da curvas da solução projetada no plano  $xOy$  com os dados da população brasileira na Figura 4(b).

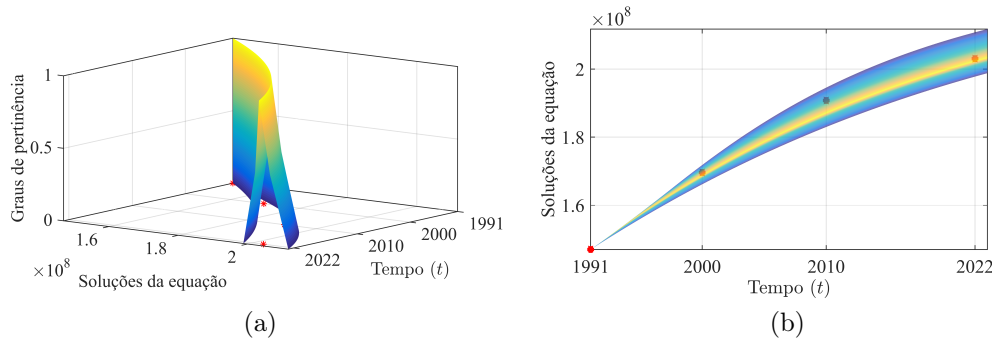


Figura 4: Fuzzificação da solução do modelo de Montroll através Princípio de Extensão de Zadeh em cada instante  $t$ . Fonte: os autores.

A defuzzificação, isto é, a transformação de um conjunto fuzzy em um número real, é realizada para solução do modelo de Montroll com parâmetro fuzzy triangular em cada instante  $t$ . Entre as trajetórias que compõem a família de soluções de (5), seleciona-se o valor numérico da população  $P(t)$  em cada instante  $t$ , considerando os dados da população brasileira. Seja  $W_t$  o conjunto fuzzy que descreve todas as possíveis trajetórias  $P(t)$  da população, calculadas a partir dos dados e parâmetros fuzzy no modelo, com função de pertinência  $u_{W_t}$ , definida através do centro de gravidade, como sendo  $P(t) = \frac{\int P_t u_{W_t}(P_t) dP_t}{\int u_{W_t}(P_t) dP_t}$ .

Na Figura 5 (a) são apresentados o gráfico da defuzzificação obtido através do método fuzzy da Extensão de Zadeh e a solução do modelo de Montroll sem retardar, em particular para os quatro tempos correspondentes da população brasileira mostrados na Figura 5 (b).

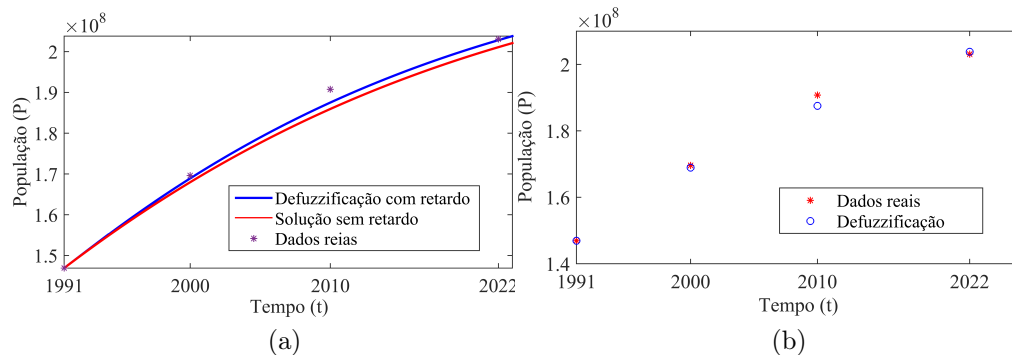


Figura 5: Defuzzificação da solução do modelo de Montroll com retardar, sendo um número fuzzy triangular. Fonte: os autores.

A média aritmética do erros relativos dos dados da população brasileira com os dados da solução do modelo de Montroll sem retardar é igual a 0,0099 e com os dados da solução defuzzificada com retardar é igual a 0,0061. Assim, o processo de defuzzificação do método fuzzy em cada instante  $t$  está mais próxima dos dados da população brasileira.

O estudo de estabilidade assintótica para o modelo de Montroll com retardar fuzzy é análogo ao modelo com retardar, obtendo-se a estabilidade assintótica para os valores de  $\tau \in \overline{\text{supp}(T)}$ . De fato, para cada valor do retardar  $\tau \in \overline{\text{supp}(T)} = [0, 032, 6, 4]$  se cumpre  $r < 5,748 \leq \frac{1}{ea\tau} \leq 1135,43$  para  $r = 4,05$  e  $\alpha = 0,01$ . Assim, considerando diferentes valores de  $\tau$  na primeira coluna da Tabela 2,

apresenta-se na segunda coluna os respectivos graus de pertinência e na terceira as correspondentes raízes negativas.

Tabela 2: Valores de  $\tau$  com seu grau de pertinência  $u_T(\tau)$  e raízes negativas.

$\tau$	$u_T(\tau)$	Raízes negativas
0,032	0	$a_1 = -295,0004$ e $a_2 = -0,04053$
0,32	0,2975	$a_1 = -19,26513$ e $a_2 = -0,04513$
1	1	$a_1 = -4,76807$ e $a_2 = -0,04248$
3,2	0,5926	$a_1 = -1,00283$ e $a_2 = -0,04726$
6,4	0	$a_1 = -0,32539$ e $a_2 = -0,05898$

## 4 Considerações Finais

Neste trabalho é apresentado o modelo de Montroll com retardo fuzzy cujos parâmetros tem sido obtidos através de dados da população brasileira entre os anos de 1991 a 2022. Tem-se abordado sua formulação matemática e obtido uma solução numérica feita por meio do método dos Passos combinado com o método de Runge-Kutta de 4<sup>a</sup> ordem. Como consequência a formulação de um programa computacional próprio que permitiu um estudo mais aprofundado e detalhado das particularidades do modelo e dos dados utilizados.

A fuzzificação da solução em cada instante é construída através do Princípio de Extensão de Zadeh que mostrou trajetórias, intervalos de convergência e estabilidade definidos com graus de pertinência. Assim, evidenciando sua eficácia na descrição de dinâmicas populacionais complexas. Novamente este estudo reforça o potencial dos métodos numéricos e fuzzy para a análise de equações com retardo e sua aplicação em fenômenos reais.

## Agradecimentos

A primeira autora agradece à CAPES pelo auxílio financeiro. A segunda e a terceira autoras agradecem à PROPP- UFU pelo apoio ao projeto DIRPE/PSFE No 006/2023.

## Referências

- [1] M. Bashier e E. Bashier. “Fitted Numerical Methods for Delay Differential Equations Arising in Biology”. Tese de doutorado. University of the Western Cape, 2009.
- [2] R. L. Burden, J. D. Faires e A. M. Burden. **Numerical Analysis**. 10<sup>a</sup> ed. Boston, MA: Cengage Learning, 2015. ISBN: 978-1-305-25366-7.
- [3] J. K. Hale e S. M. V. Lunel. **Introduction to Functional Differential Equations**. Vol. 99. Applied Mathematical Sciences. New York, NY: Springer, 1993. ISBN: 978-0-387-94076-2.
- [4] J. Murray. **Mathematical Biology: An Introduction**. 3rd. Berlin: Springer-Verlag, 2002. ISBN: 0-387-95223-3.
- [5] S. T. D. Palma. “Estudo da Estabilidade de um Modelo Populacional com Retardo Fuzzy”. Dissertação de mestrado. Universidade Federal de Uberlândia, 2025.
- [6] L. A. Zadeh. “Fuzzy sets”. Em: **Information and Control** 8.3 (1965), pp. 338–353. DOI: 10.1016/S0019-9958(65)90241-X.
- [7] L. A. Zadeh. “The concept of a linguistic variable and its application to approximate reasoning—I”. Em: **Information Sciences** 8.4 (1975), pp. 199–249. DOI: 10.1016/0020-0255(75)90036-5.